

日本 薩南海域의 GEK 測定結果에 대한 研究

林 琦 璞

韓國 國立水產振興院 海洋調查科

藤 本 實

日本 東海區水產研究所

A STUDY ON THE RESULTS OF GEK MEASUREMENT IN SATSUNAN SEA OF JAPAN

Ki Bong Lim

Oceanographic Sec., Fisheries Research and Development Agency,

Pusan, Korea

and

Minoru Fujimoto

Tokai Regional Fisheries Research Laboratory, Tokyo, Japan

ABSTRACT

GEK observation had been done in Satsunan sea region (south western region of Kyushu, Japan), mixing sea region of Kuroshio, its count-current and water mass of Eastern China Sea in August 1968. The results are as follows:

1. Observed values by GEK are coincided well with that of ship's drift in the surface water of Kuroshio region.
2. Compared the observed values by GEK with that of dynamic calculation of 800 db, in the eastern area of the surveyed region occupied by Kuroshio water mass, they are coincided well. But not in the western area which is of mixing zone of the Eastern China Sea water mass, Kuroshio and its count-current, showing over 1 knot differences with calculated value are bigger than that of GEK observation.

머 리 말

GEK (Geomagnetic Electrokinetograph)가 開發되고 그에 대한 取扱의 簡便, 測定의 容易, 精度의 優秀性으로 GEK를 利用한 많은 觀測이 遂行되고 또 그들 資料를 바탕으로 많은 研究에 臨하고 있어, 지금은 海洋觀測에 있어 必須의 器械로서 이것으로 海流調查를 行한다고 하는 것은

널리 알려진 바이다. 그러나 여기에서는 “사쓰난”(薩南) 海域 (日本 九州 南西方海域)과 같이 潮汐流와 複雜한 海底地形 및 大小多樣한 島嶼의 分布 등으로 影響 받는 海域에서의 GEK 測定은 他海域 (日本 本州南方의 黑潮流域 등)에서 行하여지는 것 같이 쉽지 않다고 볼 수 있다. 여기에 日本 사쓰난海域에서 調查된 GEK의 測得值에 對하여 檢討하였다.

調査 및 檢討 方 法

1968年8月 日本水產廳 調査船、蒼鷹丸으로
日本薩南海域의 黑潮流域이자 생각되는 強流域
에서 實施한 黑潮表層水 追跡結果와 同時に 測定
한 GEK 結果를 對應시켜 檢討하였다. 또 日本
奄美大島近海에서 東支那海 大陸棚으로 向하여
日本水產廳調查船 蒼鷹丸, 俊鷹丸의 2調査船의

行한 GEK 測定結果와 800m 層을 基準面으로 한
力學計算에서 얻은 表面流速과를 比較 檢討하
였다.

結果 및 考察

薩南海域의 觀測線 및 測點은 第1圖에 圖示된
바와 같이 P, Q, A, B, C, D의 6個線과 表層水漂
流軌跡 (T: 圖面中の X印)과를 合한 7個線이며,

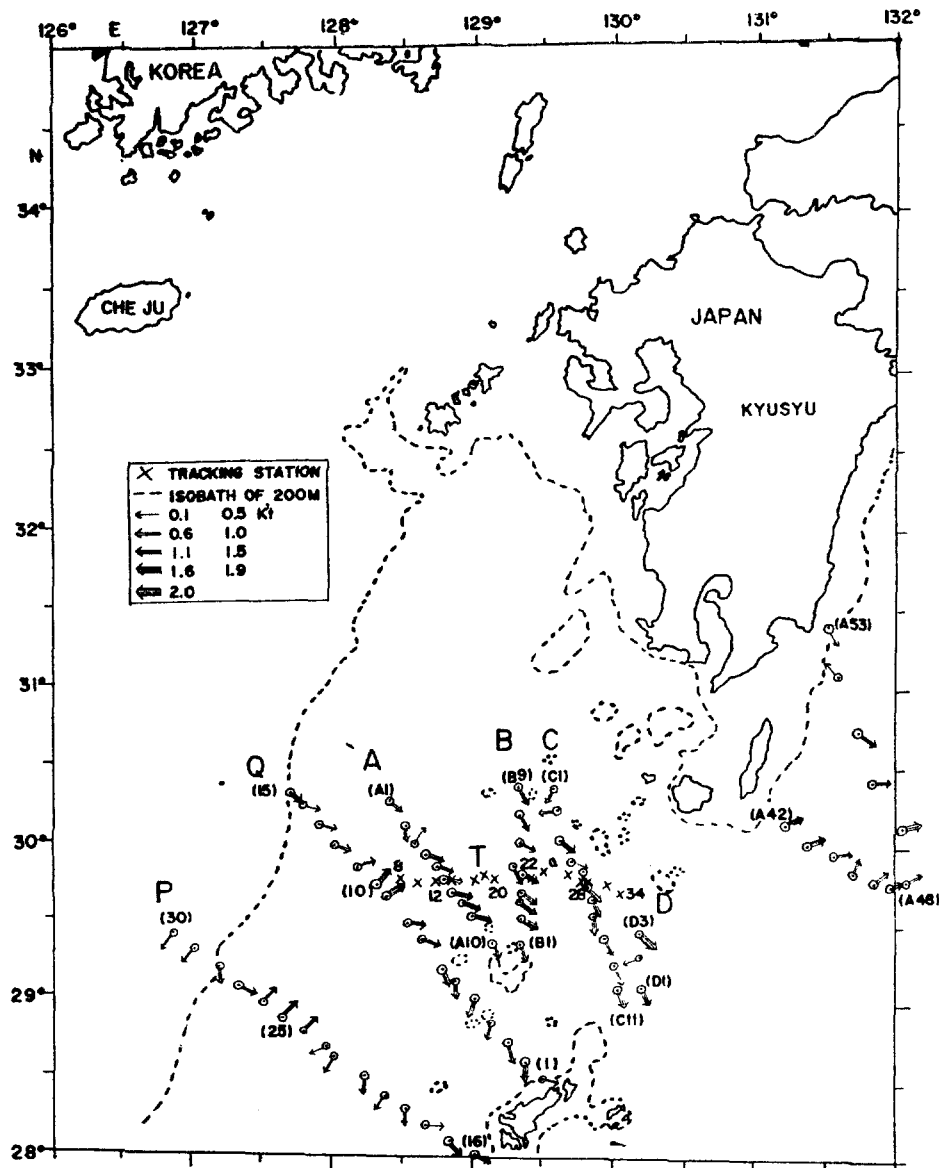


Fig. 1. Hydrographic stations and distribution of surface water currents in the Satsunan sea, August 1968.
Research vessels: Soyo, Q. T. lines; Shunyo, P. A. B. C. D. lines

GEK 測定數는 P 가 15 點, Q 가 15 點, A 가 10 點, B 가 9 點, C 가 11 點, D 가 3 點, T 가 7 點 으로 모두 70 點이었다.

그中 가장 西方測의 定線 P (St. 16~30)에서는 St. 16~17 이 南東流로서 1.3~1.5 끽트, St. 18 에서는 弱한 東流, St. 19~23 間은 南流 및 南西流로서 1 끽트 以內였다. St. 23~24 는 東北으로 向하는 強流域과 南流域과의 境界域으로 되어 있으며, 이곳은 大陸棚邊 (200 m 等水深)에서 45浬 가량 떨어진 곳이다. 그리고 더구나 北西의 測點 (St. 24~26)은 黑潮의 強流가 1~1.4 끽트로서 東北으로 向하고, 다시 大陸棚 근해인 (St. 28~30) 곳에서는 0.9 끽트 前後의 南流를 보여 이것은 黑潮의 流向과는 거의 逆向을 보인다.

다음에 Q 線 (St. 1~16)을 보면, St. 1~7 까지는 거의 대부분 南流를 보이고, 流速은 0.8~1.4 끽트였고, St. 8~9 는 1.4 끽트의 東流, St. 10~12 는 1.7 끽트의 最強速度를 보인 東北流가 있어, 이는 P 線의 St. 24~26 에 連續된 黑潮流域이

라 볼 수 있다. 다시 西北方의 測點에서는 東流 가 보이나 北쪽으로 갈수록 流速이 적어지는 경향이 있다.

A 및 B 線에서는 A₁₀, B₁ 이 거의 1 끽트의 南流를 보이나, A₉~A₄ 및 B₂~B₇ 間에는 東~南東流が 0.7~1.9 끽트 (平均 1.34 끽트)의 流速을 보인다.

C 및 D 線에서는 C₁~C₂에서 0.3~0.8 끽트의 南西流가 있는 것以外는 거의 대부분이 南東流를 보였다. 또한 A, B, C, D 線을 全體的으로 보면, 그들 結果에서 얻은 흐름의 狀態는 黑潮 表層水 追跡에서 얻은 結果와 거의 유사한 傾向을 나타내고 있다.

다음은 蒼鷺丸으로 8月 10日 03時에서 48時間에 걸쳐 黑潮의 最強流部라 推定되는 海域을 染料擴散 實驗方法으로 表層水追跡時に 行한 (2時間間隔으로 測定하였음) 表層水漂流速度와 同時に 測定한 GEK 結果 (7個點)를 第 2 圖에 나타냈다.

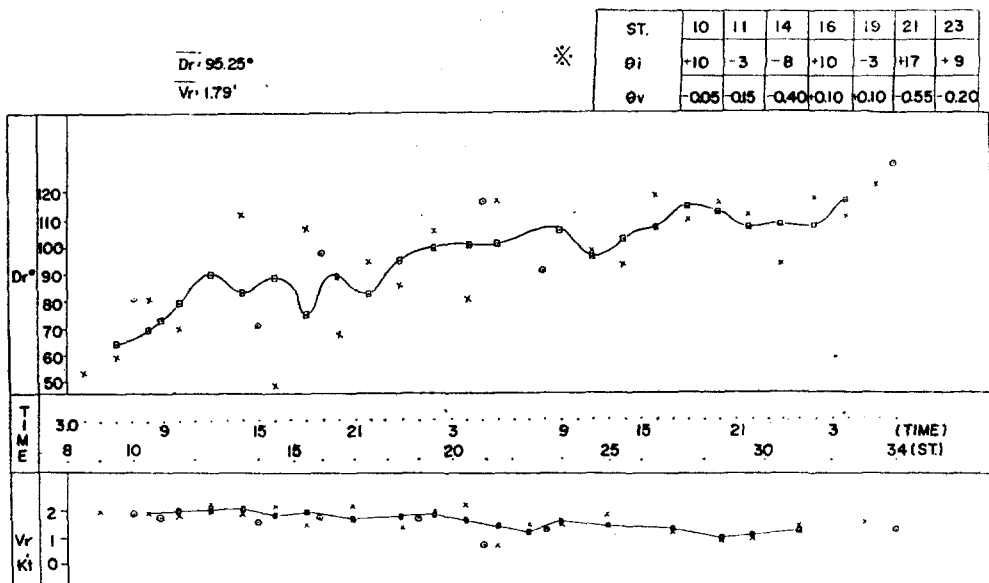


Fig. 2. Comparison of average moving velocity of Kuroshio surface current and GEK observed values.
upper fig.: direction of current
lower fig.: current velocity

10~12 Aug. 1968

θ_i : differences between ○ and ×(dir.)

○: value of GEK observation

×: surface current velocity by ship's drift

θ_v : differences between ○ and ×(velocity)

●: 3 points moving average

2時間間隔으로 测定한 船舶의 位置移動에서 求한 流向과 GEK에서 얻은 海流方位 간에는相當한 差異가 있으나 全體的으로 보아 東北流에서 東流로 차차 移動되어 St. 19付近에서는 다시 南東으로 向하고 있음을 알 수 있다.

또 GEK測定結果와 船體漂流方向과의 差는 10° (2.8%) 以內였다. St. 22~23에서 큰 誤差를 보인 것은 船舶의 位置測定의 不確實에 因하였다고 보여진다. 한편 表層水의 漂流流速을 보면 追跡開始點에서 St. T 18까지는 約 2 뉴트로 均一한 흐름을 보이나 St. T 19에서 漸次 流速이 떠리져 1.0~1.6 뉴트로 되어 追跡開始부터 終了時까지의 平均流速은 1.8 뉴트였다.

또 GEK測得值와 船舶의 位置에서 換算한 表層水의 移動速度를 보면 그 差는 0.05~0.4 뉴트

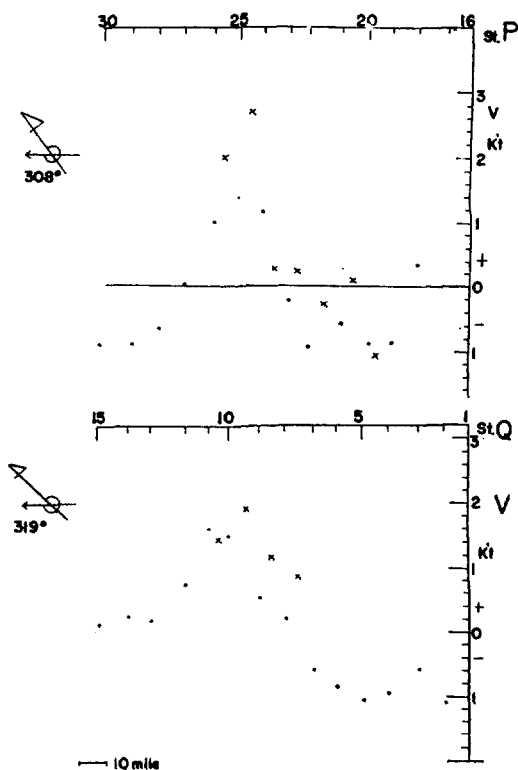


Fig. 3. Comparison of the values of GEK observations and of dynamic calculations. 8~9 Aug. 1968.

P, Q: observed line

●: values of GEK observations (vertical component to observed line)

×: surface current velocity by dynamic calculations

(平均 0.2 뉴트)로 섬의 주위를 돌아나가는 T21以外는 좋은 값이 얻어졌다.

다음은 P와 Q 선에 對하여 力學計算에서 얻은 表面流速 (基準面 800 db)와 GEK測得值의 觀測線에 垂直되는 成分과를 對應한 結果를 第3圖에 나타냈다.

P線 (St. 20~25)에서는 GEK測得值成分은 거의 다 力學計算에서 얻은 流速보다 0.3~0.9 뉴트가 작으며, 平均 0.54 뉴트가 작은 結果였다.

또 Q線 (St. 7~10)에서는 GEK測得成分은 앞에서와 같이 力學計算結果 보다 0.82~1.05 뉴트, 평균 0.95 뉴트 가량 작은 結果를 얻었다.

結 言

GEK 측득결과와 黑潮 表層水 追跡結果 및 力學計算에 의하여 구한 表面流速과를 대응하여 보았다. GEK測得值는 黑潮 表層水의 移動과는 流速, 流向 공히 대개 잘 일치한다. 이에 대하여 力學計算 結果와는 아주 잘 對應되지 않아 심한 때는 1 뉴트의 차를 내고 있다.

이와 같이 P 및 Q 선에서 양자의 상위가 현저한 원인 혹은 이유는 이들 자료만으로는 충분히 밝히기는 어려우나 생각할 수 있는 구체적인 예를 2, 3 가지 들어 보면 첫째 力學計算에 대하여는 보통 大洋에서 行하여지는 力學計算을 참고로 하여 基準面을 될 수 있는데로 깊으게 취한다는 의도에서 800 db에 두었으나 薩南海域과 같은 深所에서 점차 비스듬히 얕아지고 있는 해역에서는 더욱이 얕은 곳에 基準面을 두는것이 옳지 않을까 생각된다.

또한 調査海域의 동쪽에서는 實測值와 잘 일치하나 서쪽 해역에서는 잘 맞지 않았다는 데서, 각 海域의 海洋特性에서 원인을 구하여야 하지 않을까 생각된다. 즉 동쪽 해역에서는 黑潮의 주체를 이루는 水塊가 폭넓게 확장되어 垂直斷面적으로 보아도 동일 수괴가 접하고 있는데 대하여 서쪽 해역에서는 黑潮反流系의 水塊와 大陸棚 東支那海系 水塊의 사이를 黑潮가 폭넓게 통과하고 있어 수직방향의 水塊分布가 대단히 복잡하여 密度勾配가 크다. 이는 力學計算結果가 특히 크게 나왔다고도 생각할 수 있다.

또한 東支那海의 넓은 大陸棚을 접한 당해역에서는 潮汐流가 극히 강하여 風向, 風速을 좌우하는 것이라고도 생각할 수 있을지도 모른다.

어떻든 GEK는 해양연구의 발판 또는 연구 자체에 대하여 중요한 역할을 담당하고 있는 것은 말할 필요가 없으므로 外海에서와는 달리 GEK 测定은 여러가지 변화가 주어질 가능이 있는 해역에 있어서도 적당한 修正을 행하므로서 충분히 활용될 연구를 하지 않으면 안될 과제가 남아 있다고 생각한다.

要 約

1968년 8월 黑潮와 그의 반류 및 東支那海 水

塊가 混合된 海域인 薩南海域에서 GEK 觀測을 行하였고 그 結果는 다음과 같다.

1. GEK 觀測值는 黑潮流域의 表層水에서 船體漂流때 얻은 값과 잘一致하였다.

2. GEK 觀測值와 800 db를 基準으로 얻은 力學計算值와 比較하면, 調查海域中 黑潮水塊로서 占한 東側域에서는 잘一致하였다. 그러나 東支那海 水塊, 黑潮 및 그 반류가 混合되어 있는 西方域에서는一致되지 않았고, 그 差異는 1 뜻도 以上으로서 力學計算值가 GEK 觀測值 보다 크게 나타났다.